

## Глава шестая

# Электродинамические воздействия молний на объекты

---

### **6.1. Электродинамическое воздействие импульсного магнитного поля, вызванного грозовым разрядом, на проводящие объекты**

Ток главного разряда молнии, проходя по каналу или по проводникам (например, по поражаемому объекту или молниеприемнику, заземлителю и т.д.), создает в окружающем пространстве мощное импульсное магнитное поле. Плотность энергии этого поля

$$W = \frac{BH}{2} = \mu_0 \frac{H^2}{2}, \quad (6.1)$$

где  $B$  и  $H$  – индукция и напряженность магнитного поля;  $\mu_0$  – магнитная постоянная.

Если в пространстве, где создано поле, имеется проводящий объект со стенкой или оболочкой, полностью или частично не пропускающей импульсное электромагнитное поле, то на стенку действует давление

$$p = \frac{\mu_0}{2} (H_1^2 - H_2^2), \quad (6.2)$$

где  $H_1$  и  $H_2$  – напряженности магнитного поля перед стенкой и за стенкой.

Для оценок эффектов проникновения поля через стенки служит глубина проникновения  $\Delta$ . В случае плоской электромаг-

дение пропорционально квадрату напряженности поля. Если объект находится на расстоянии  $x$  от оси проводника с током молнии  $i$ , то напряженность магнитного поля определяется по закону полного тока:

$$H_1 = \frac{i}{2\pi x}. \quad (6.3)$$

При  $H_1 > H_2$  можно записать

$$p \approx \frac{\mu_0 i^2}{8\pi^2 x^2}. \quad (6.4)$$

Зависимость давления  $p$  от расстояния  $x$  при  $i=200$  кА приведена на рис. 6.1. Как видно из рисунка, давление может достигать больших значений, если объект расположен непосредственно вблизи провода с током молнии.

Отметим, что давление увеличивается в  $\pi/2$  раз, если проводник с током изогнут в виде полуокружности, в центре которой помещен объект.

К сожалению, при рассмотрении воздействия импульсного магнитного поля тока молнии на объ-

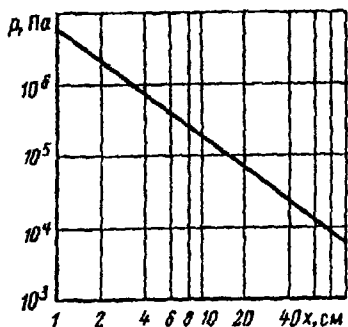


Рис. 6.1. Зависимость давления  $p$  от расстояния  $x$  между объектом и проводом с током молнии

ект приходится ограничиваться лишь определением давления, действующего на стенку. На вопрос, приведет ли это воздействие к деформации или разрушению стенки, ответить чрезвычайно трудно, так как для этого необходимо учесть размсры объекта, его размещение относительно провода с током, толщину стенки, свойства материала при кратковременном воздействии, нагрев стенки индуктированными в ней токами, форму импульса давления и многие другие факторы.

## 6.2. Электродинамические силы, действующие на проводники при прохождении по ним тока молнии

При рассмотрении данного вопроса проанализируем ряд простейших случаев.

Пусть ток молнии проходит по единственному проводнику диаметром  $d$ . На поверхности проводника возникает магнитное поле напряжённостью

$$H = \frac{i}{\pi d}. \quad (6.5)$$

Так как на оси проводника напряженность равна нулю, то на проводник действуют радиальные сжимающие силы. Давление, действующее нормально поверхности проводника:

$$p = \frac{\mu_0 i^2}{2\pi^2 d^2}. \quad (6.6)$$

Значение этого давления при токах молнии недостаточно для разрушения проводника. Однако если  $d$  составляет несколько миллиметров, то в сочетании с нагревом обжимающие электродинамические силы могут вызвать искривление проводника. При выполнении проводника в виде тонкостенной трубы электродинамические силы могут вызвать потерю устойчивости формы сечения трубы (ее схлопывание).

Рассмотрим удар молнии в плоский проводящий объект.

Как следует из гл. 4, плотность тока по опорной зоне канала может быть принята постоянной. Если ток в объекте равномерно распределяется в радиальных направлениях от места удара, то магнитное поле образуется лишь в полупространстве, где существует канал.

Давление магнитного поля в пределах опорной зоны

$$p = \frac{\mu_0 i^2}{8\pi^2 r_k^4} x^2, \quad (6.7)$$

где  $r_k$  – радиус опорной зоны;  $x$  – расстояние от оси канала.

Давление магнитного поля за пределами опорной зоны

$$p = \frac{\mu_0 i^2}{8\pi^2 x^2}. \quad (6.8)$$

Проинтегрировав выражение (6.7) по площади в пределах от 0 до  $r_k$ , а (6.8) – от  $r_k$  до координаты  $R$ , получим общую силу, действующую на круг радиусом  $R$ :

$$F = \frac{\mu_0 i^2}{16\pi} + \frac{\mu_0 i^2}{4\pi} \ln \frac{R}{r_k}. \quad (6.9)$$

Первый член в правой части уравнения (6.9) дает силу, действующую на объект в пределах опорной зоны. Как видно, эта сила не зависит от радиуса опорной зоны и при токе  $i=200$  кА равна  $10^3$  Н.

Зависимость силы  $F$  от радиуса круга  $R$  приведена на рис. 6.2, из которой видно, что с увеличением  $R$  до 10 см сила достигает порядка  $10^4$  Н.

Далее определим силу, действующую на проводник длиной  $l$  с током молнии  $i$ , расположенный на расстоянии  $h$  от проводящей

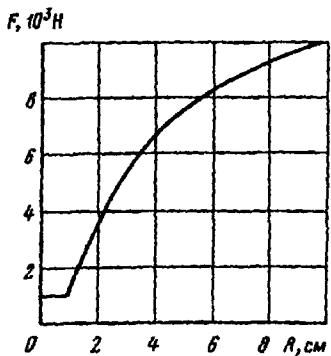


Рис. 6.2. Зависимость силы  $F$ , действующей на плоский объект, от радиуса круга  $R$

плоскости. Считая провод тонким ( $h \gg d$ ), можно рассчитать отталкивающую силу по формуле

$$F = \frac{\mu_0 i^2 l}{4\pi h}. \quad (6.10)$$

Если ток молнии или его часть протекает по разным параллельным длинным проводникам, то сила определяется по следующей формуле:

$$F = \frac{\mu_0 i_1 i_2 l}{2\pi a}, \quad (6.11)$$

где  $i_1$  и  $i_2$  – токи в проводниках,  $a$  – расстояние между проводниками.

При одинаковом направлении токов проводники притягиваются, при разных – отталкиваются. Первый случай соответствует разветвлению тока молнии, второй – протеканию тока молнии по зигзагообразно проложенному проводу, например, идущему от молниеприемника к заземляющему устройству.

Если ток молнии распределен по двум проводникам равномерно ( $i_1 = i_2$ ;  $i = i_1 + i_2$ ), то электродинамическое взаимодействие между проводниками максимально, а сила рассчитывается по формуле:

$$F = \frac{\mu_0 i^2 l}{8\pi a}. \quad (6.12)$$

При  $i = 200$  кА,  $l = 1$  м и  $a = 0,1$  м получаем  $F = 2 \cdot 10^4$  Н.

Сложнее определить электродинамические силы, действующие на изогнутые проводники с током молнии. При этом можно рекомендовать два подхода.

Первый основан на использовании формулы (6.11). При расчетах силы выделяется малый участок проводника  $s_1$ , электродинамическое воздействие на который определяется. Затем рассчитывается индукция в месте расположения участка  $s_1$ , создаваемая током, проходящим по остальной части проводника (заметим, что в этом случае  $i_1 = i_2$ ). Затем путем интегрирования по  $s$  можно найти результирующую электродинамическую силу. Естественно, расчет как индукции, так и силы, в аналитическом виде возможен только в простейших случаях (для плоских контуров и

с математически заданными искривлениями, поэтому, численные расчеты.

Следует отметить, что электродинамические силы всегда направлены так, чтобы при деформации контуров с токами или их взаимном перемещении под действием этих сил максимально возрастал объем, занятый полем. Это связано со стремлением системы к минимуму энергий. На использовании этого явления основан второй способ расчета электродинамических сил.

В общем случае электродинамическая сила в направлении  $x$  может быть выражена через индуктивность  $L$ :

$$F = \frac{i^2}{2} \frac{dL}{dx}. \quad (6.13)$$

Здесь  $dL/dx$  означает изменение индуктивности контура при перемещении участка контура (проводника) на расстояние  $dx$ .

При этом не обязательно рассматривать замкнутый контур. Можно ограничиться и отдельным участком контура и учесть изменение взаимной индуктивности  $M$  участка и контура при перемещении одного из них на  $dx$ , т.е. в формулу (6.13) вместо  $dL/dx$  можно подставить  $dM/dx$ .

Этот способ определения электродинамических сил может оказаться менее трудоемким, так как можно воспользоваться довольно презентабельным справочным материалом по индуктивностям и взаимным индуктивностям проводников и контуров (см. например, [3.3]).

Более подробные сведения о расчетах электродинамических сил можно найти в специальной литературе, например в [6.2].

Следует отметить, что при сильно искривленных проводниках, например изогнутых под прямым и большим углом, электродинамические силы имеют тот же порядок величины, что и даваемый формулами (6.9), (6.11), (6.12). Приведенные оценки показывают, что силы могут достигать нескольких тонн на метр длины. В связи с этим возникают проблемы механической стойкости проводников с током молнии (спусков от молниеприемников, защитных шин, проводов заземлителей и т.д.). При решении этих проблем следует обратить особое внимание на те участки, где проводники располагаются вблизи токопроводящих поверхностей, расцепляются или изгибаются под большим углом.